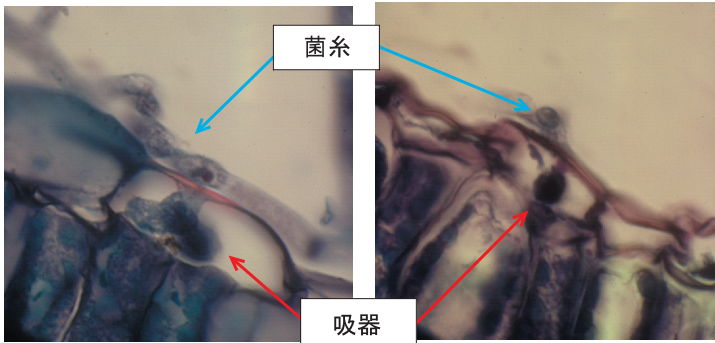


キュウリのうどんこ病抵抗性検定と抵抗性機構

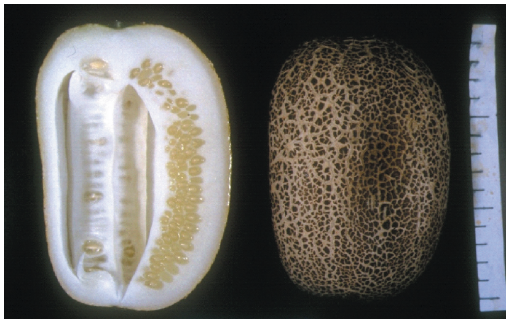
(本文 9 ページ参照)



①表皮細胞内に侵入した吸器
左: 'シャープ1' 右: 'PI197088-1'



② 20°Cにおける接種 6 日目の 'PI197088-1' の表皮細胞の蛍光顕微鏡写真



③ 'PI197088-1' の成熟した果実 (目盛りは cm)



④ 開花 8 日目に収穫した 'きゅうり中間母本農 5 号' の青果 (坂田ら, 2008)

森下昌三氏原図

広義 *Cercospora apii* によるヨウサイ (エンサイ) 褐斑病 (新称) の発生

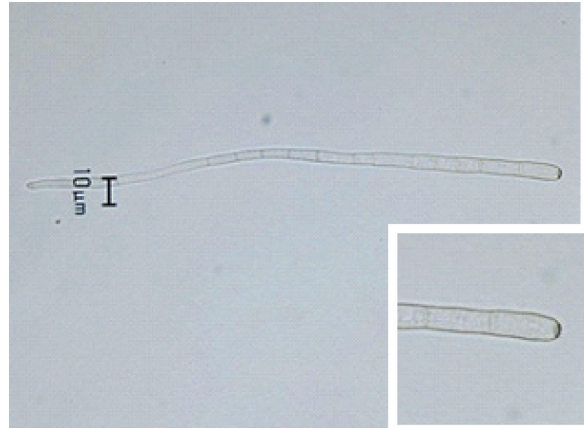
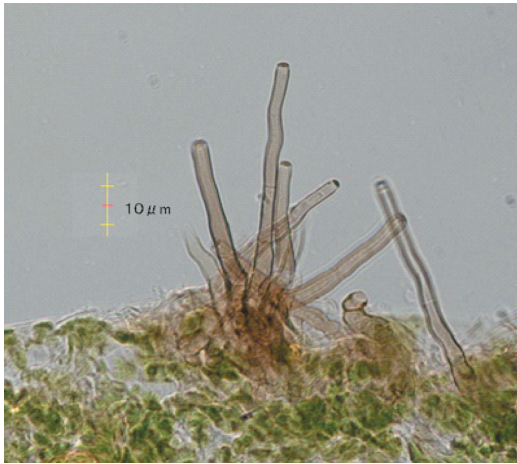
(本文 22 ページ参照)



①高松市内の圃場で観察されたヨウサイの斑点症状



②病徴



③ヨウサイから分離された菌の分生子柄と分生子
左：子座から束状に伸長した分生子柄，右：分生子

生畷 巖氏原図

イネ紋枯病は地球温暖化による水稻の白未熟粒発生増加を助長する

(本文 15 ページ参照)



水稻の白未熟粒（左）と
整粒（右）の外観

宮坂 篤氏原図

フェロモンによる発生予察 ーチャノコカクモンハマキ，チャハマキー

(本文 39, 42 ページ参照)



①チャノコカクモンハマキ雌雄成虫



②チャハマキ雌雄成虫

①小澤朗人氏、②小俣良介氏原図